



365D H 01 J 37/26

ГОСУДАРСТВЕННЫЙ КОМИТЕТ СССР  
ПО ДЕЛАМ ИЗОБРЕТЕНИЙ И ОТКРЫТИЙ

# ОПИСАНИЕ ИЗОБРЕТЕНИЯ К АВТОРСКОМУ СВИДЕТЕЛЬСТВУ

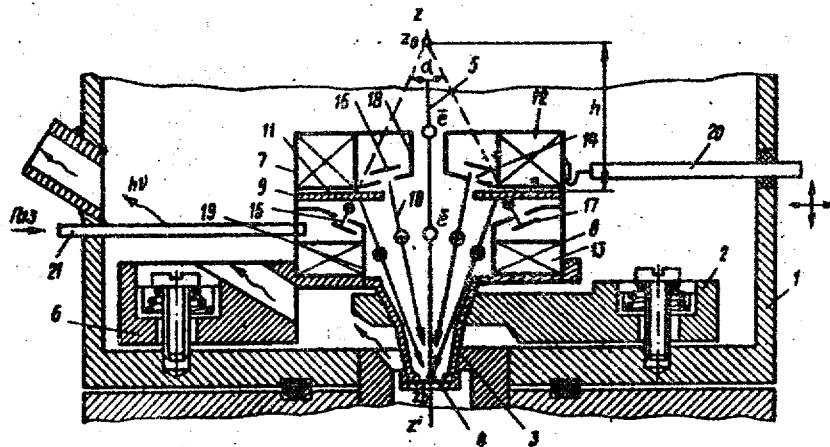


- (21) 3361602/18-21
- (22) 26.11.81
- (46) 15.08.83. Бюл. № 30
- (72) Н.Е.Левчук, А.П.Достанко,  
В.Я.Ширипов и В.Н.Егоров
- (71) Минский радиотехнический институт
- (53) 621.385.833 (088.8)
- (56) 1. Сушкин Н.Г. Электронный микроскоп. М.-Л., Госиздат техн.-теор. литературы, 1949, с. 98.  
2. Пleshивцев Н.В. Катодное распыление. М., Атомиздат, 1968, с. 233 (прототип).

(54) (57) 1. ПРОСВЕЧИВАЮЩИЙ ЭЛЕКТРОННЫЙ МИКРОСКОП, содержащий внутри вакуумной колонны электронно-оптическую систему и камеру объектов, в которой на подвижном столике установлен объектодержатель в виде патрончика, отличающийся тем, что, с целью расширения функциональных возможностей микроскопа за

счет анализа пленок непосредственно при их нанесении или травлении, он снабжен двумя осесимметричными ионными источниками с обращенными друг к другу кольцеобразными ускорительными каналами и кольцевым экраном между источниками, при этом ионные источники установлены последовательно по ходу электронного пучка перед патрончиком, соосно с оптической осью микроскопа и выполнены со сквозными цилиндрическими отверстиями вдоль оси, а диаметр отверстия экрана составляет не менее наружного диаметра ускорительного канала первого по ходу пучка источника и не более диаметра сквозного отверстия второго источника, составляющего не менее диаметра входного отверстия патрончика.

2. Микроскоп по п. 1, отличающийся тем, что ионные источники выполнены по схеме ускорителей с анодным слоем.



09 SU (11) 1035679 A

Изобретение относится к просвечивающей электронной микроскопии и может найти применение при экспериментальных исследованиях кинетики изменения структуры и состава тонких пленок в процессе их формирования методом ионного распыления мишени при одновременной бомбардировке поверхности подложки.

Известны просвечивающие электронные микроскопы (ПЭМ), предназначенные для анализа уже готовых объектов, которые устанавливаются в микроскоп через шлюз [1].

Однако они не предназначены для анализа в процессе изготовления.

Известно устройство для исследования кинетики явлений при ионном воздействии, исключающих воздействие воздуха на объект, представляющее собой вакуумную камеру с помещенной в нее ионной пушкой и соединенную с колонной микроскопа шлюзовой системой. Объект, находящийся в вакуумной камере, подвергается ионному воздействию, после чего перемещается специальным штоком через шлюзовую систему в колонну микроскопа для наблюдения. Ионная пушка при этом выключается, чтобы не происходило возмущающего действия ее полей на электронный луч микроскопа. Затем весь цикл повторяется [2].

Недостатком данного устройства является невозможность непосредственного наблюдения кинетики процессов ионного воздействия, поскольку бомбардировка и исследование объекта разнесены во времени. Кроме того, объект должен представлять собой уже сформированную структуру, пленка-подложка, т.е. при помощи данного устройства невозможно наблюдать кинетику образования и роста пленки непосредственно во время нанесения. При нанесении многокомпонентных материалов возможны переходы через метастабильные фазы, которые не могут быть обнаружены при помощи данного устройства. В то же время интенсивное развитие ионных методов нанесения пленок в вакууме (ионное распыление, ионное осаждение, нанесение из ионизированных потоков), в которых конденсация материала сопровождается ионной бомбардировкой поверхности подложки, делает весьма актуальной задачу исследования и регистрации процесса на этой поверхности, особенно на начальных стадиях нанесения.

Цель изобретения - расширение функциональных возможностей ПЭМ за счет анализа пленок непосредственно при их нанесении или травлении

Указанная цель достигается тем, что ПЭМ, содержащий внутри вакуумной колонны электронно-оптическую систему и камеру объектов, в которой на подвижном столике установлен объектодержатель в виде патрончика, снабжен двумя осесимметричными ионными источниками с обращенными друг к другу кольцеобразными ускорительными каналами и кольцевым экраном между источниками, при этом ионные источники установлены последовательно по ходу электронного пучка перед патрончиком, соосно с оптической осью микрокопа и выполнены со сквозными цилиндрическими отверстиями вдоль оси, а диаметр отверстия экрана составляет не менее наружного диаметра ускорительного канала первого по ходу пучка источника и не более диаметра сквозного отверстия второго источника, составляющего не менее диаметра входного отверстия патрончика.

Ионные источники целесообразно выполнять по схеме ускорителей с анодным слоем.

На чертеже представлена схема ПЭМ в зоне камеры объектов.

В вакуумной колонне 1 микроскопа на подвижном столике 2 укреплен патрончик 3 с объектом 4. Перемещение столика 2, обеспечивает небольшие сдвиги объекта относительно оптической оси микроскопа  $ZZ'$  вдоль которой распространяется зондирующий электронный пучок 5. На дополнительном столике 6, расположенном над основным подвижным столиком 2, последовательно вдоль оси установлены осесимметричные и жестко связанные два ионных источника 7 и 8 и экран 9, что обеспечивает взаимное расположение ионных пучков 10 и 11, экрана 9 и объекта 4 между собой. Смещение одной из этих частей относительно других приводит к неработоспособности устройства.

Корпус каждого ионного источника выполнен из магнитомягкого материала для концентрации магнитных полей соленоидов (или постоянных магнитов) 12 и 13 в кольцевых ускорительных каналах 14 и 15, которые являются вместе с кольцевыми анодами 16 и 17 зонами газовых разрядов и ускорения ионов. По оси корпуса ионных источников выполнены сквозные отверстия для прохождения электронного пучка, стенки которых 18 и 19 также изготовлены из магнитомягкого материала и служат магнитным экраном, уменьшающим воздействие магнитных полей соленоидов 12 и 13 на электронный зондирующий пучок 5. Небольшие магнитные поля рассеяния, существующие внутри отверстий, имеют осе-

симметричную форму и благодаря со-  
осному с электронным пучком распо-  
ложению ионных источников практиче-  
чески не влияют на качество изобра-  
жения в микроскопе. Установленный  
5 между ионными источниками, соосно  
с ним экран 9 может быть выполнен  
из материала, наносимого на объект  
4. Диаметр отверстия экрана выпол-  
нен большим, чем наружный диаметр  
10 ускорительного канала 14 первого  
по ходу пучка ионного источника  
7, что необходимо для беспрепят-  
ственного прохождения ионного пуч-  
ка 10 к объекту 4 для его бомбар-  
дировки, и меньшим, чем диаметр  
15 сквозного отверстия второго источ-  
ника 8, для беспрепятственного  
осаждения материала на объект.  
С этой же целью диаметр сквозного  
20 отверстия второго ионного источ-  
ника 8 не должен быть менее диа-  
метра входного отверстия патрон-  
чика 3. Ускорительный канал 14  
первого ионного источника ориен-  
тирован на объект, что необходи-  
мо для бомбардировки последнего пуч-  
ком ионов, а ускорительный канал 15  
второго источника направлен на зону  
25 экрана 9, непосредственно прилегаю-  
щего к его внутреннему диаметру.  
В этом случае поток распыляемого  
материала (экрана или специально  
нанесенного) попадает на объект. В  
30 колонне микроскопа выполнены подвиж-  
ный ввод 20 и трубка 21 подачи газа.  
Устройство работает следующим  
образом.

После получения в колонне 1 микро-  
скопа необходимого вакуума ионные ис-  
точники с помощью ввода 20 сдви-  
гаются к периферии камеры. Проводит-  
ся настройка микроскопа в соответст-  
40 вии с техническим описанием. Через  
имеющийся в колонне микроскопа шлюз  
на подвижный столик 2 подается пат-  
рончик 3 с объектом 4, которым слу-  
жит тонкая (прозрачная для электрон-  
ного пучка) угольная пленка или тон-  
кая пленка другого необходимого ма-  
териала, на который должна быть на-  
несена исследуемая пленка металла,  
50 сплава, соединения и т.д. Ионные  
источники с помощью ввода 20 уста-  
навливаются на столике 6 и с по-  
мощью перемещения последнего юстиру-  
ются до получения изображения на  
экране микроскопа. В ионный источ-  
ник через трубку 21 подается рабо-  
чий газ ( $Ar$ ,  $N_2$ ,  $O_2$  и т.д.) до дав-  
ления  $(4-6) \cdot 10^{-2}$  Па. Если в ионных  
источниках для формирования маг-  
нитных полей служат соленоиды, то  
60 включается их питание и устанавли-  
вается необходимая величина тока.  
На анод 16 первого ионного источ-  
ника 7 подается положительный по-  
тенциал величиной 0,5-2,0 кВ. В

его ускорительном канале 14 возни-  
кает разряд в скрещенных Е-Н полях  
и формируется ионный пучок 10, ко-  
торый направлен на объект. Осе-  
симметричная форма ионного пучка  
5 дает возможность свести к мини-  
муму искажения траектории электрон-  
ного зондирующего пучка 5. Ионным  
пучком 10 производится ионная очист-  
ка поверхности объекта 4. Состоя-  
ние структуры объекта контролирует-  
ся на экране микроскопа путем наблю-  
10 дения структуры или дифракционной  
картины. Контроль осуществляется не-  
посредственно в процессе ионной  
15 очистки. По окончании ионной очист-  
ки питание анода 16 выключается и  
включается питание анода 17 второ-  
го источника 8. Ионы сформирован-  
ного пучка 11 бомбардируют экран 9,  
20 производя его распыление. Распы-  
ленный материал экрана попадает  
на объект 4 и конденсируется на его  
поверхности в виде тонкой пленки.  
Контроль роста пленки проводится  
25 путем наблюдения структуры и дифрак-  
ционной картины на экране микро-  
скопа. Состав пленок контролирует-  
ся путем регистрации характеристиче-  
ского рентгеновского излучения.  
Если пленка должна наноситься в  
30 условиях ионной бомбардировки, то  
одновременно запитываются оба ано-  
да 16 и 17. Энергия ионов регули-  
руется напряжением питания анодов,  
которое осуществляется от отдель-  
ных источников. При исследовании  
35 процессов ионного травления свеже-  
нанесенных пленок анод 16 включается  
после того, как закончилось распы-  
ление мишени, т.е. выключен анод 17.

Таким образом, рассмотренный ПЭМ  
обеспечивает исследование кинетики  
40 процессов при ионно-лучевом нанесе-  
нии тонких пленок различных, в том  
числе и многокомпонентных материа-  
лов, ионной очистке объектов и  
ионном травлении пленок, сформиро-  
ванных на поверхности объекта, кон-  
денсации материала на поверхности  
50 объекта в условиях ионной бомбарди-  
ровки последнего; анализе состава и  
структуры многокомпонентного объек-  
та в процессе распыления его иона-  
ми. В зависимости от задачи могут  
55 использоваться либо только один из  
ионных пучков, либо оба одновре-  
менно. Непосредственно в течение ука-  
занных процессов происходит наблюде-  
ние изменения структуры исследуе-  
мого объекта на экране электронного  
60 микроскопа (по изображению или диф-  
ракционной картине) и фиксации ре-  
зультатов путем фотографирования,  
а также регистрации состава по ха-  
рактеристическому рентгеновскому  
65 излучению.

Таким образом, эффективность устройства заключается в расширении функциональных возможностей микроскопа путем анализа кинетики изменения струк-

туры и состава тонких пленок непосредственно в процессе ионно-лучевого нанесения, ионной очистки, ионной бомбардировки и ионном покрытии.

Редактор К. Воложук      Составитель В. Гаврюшин      Корректор А. Ференц  
Техред И. Метелева  
-----  
Заказ 5844/53      Тираж 703      Подписное  
ВНИИПИ Государственного комитета СССР  
по делам изобретений и открытий  
113035, Москва, Ж-35, Раушская наб., д. 4/5  
-----  
Филиал ППП "Патент", г. Ужгород, ул. Проектная, 4